

Woh. Variationschema für <sup>dyn.</sup> Gleichung für Ordnungparameter:

Wirkung: Ordnungparameter erhalten oder nicht, Symmetrie, Austausch, ...

Modell A: Skalare Ordnungparameter, nicht erhalten.

$$\frac{\partial \phi(r,t)}{\partial t} = -M \frac{\delta F[\phi]}{\delta \phi(r,t)} + \eta(r,t)$$

$\downarrow$  Variationskonstante  
Relaxationskonst.

$\langle \eta(r,t) \rangle = 0$   
 $\langle \eta(r,t) \eta(r',t') \rangle = 2M \delta(r-r') \delta(t-t')$   
 es gibt also ein  
 Fluktuations-Dissipationstheorem  
 (FDT)!

$F[\phi]$ : Ginzburg-Landau - Freie Energie

Zum FDT in den Ordnungparametergleichung ("mesoskopische" Gleichung)

↳ zw. mikroskopisch und makroskopisch

Beispiel: Modell A mit ortsunabhängiger Ordnungparameter  $\phi(t)$

$$\textcircled{*} \frac{\partial \phi}{\partial t} = -M \frac{\partial F}{\partial \phi} + \eta(t)$$

einige partielle Ableitung      denfalls ortsunabhängig

mit  $\langle \eta(t) \rangle = 0$   
 $\langle \eta(t) \eta(t') \rangle = T \delta(t-t')$

Forderung: Im Gleichgewicht soll  $\phi$  der Wahrscheinlichkeitsverteilung

$$P^{\text{eq}}(\phi) \sim e^{-\beta F(\phi)}$$

Verdammnis  
Bezeichnet!

genügend (mit  $\beta = \frac{1}{k_B T}$ )

(Beachte: Die Ordnungsgleichung  $\sim e^{-\beta F(\phi)}$   
 ersetzt linear die Abhängigkeit  $\sim e^{-\beta H(x_1, x_2, x_3)}$   
 für die mikroskopischen Freiheitsgrade!  
 Grund: mesoskopische Beschreibung

Betrachte zunächst die Fokker-Planck-Gl. für die Verteilung  $P(\phi)$  (noch nicht notwendigerweise im Gleichgewicht!), die  $\otimes$  entspricht.

Fasse dazu  $\otimes$  als skalargewichtete Lagrange-Gl. auf!

Kramers-Poyal-Koeffizienten: (ablesen!) (additives Raumbau)

$$K^{(1)} = -M \frac{\partial F(\phi)}{\partial \phi}, \quad K^{(2)} = \frac{\Gamma}{Z}$$

$\Rightarrow$  Fokker-Planck-Gl.:

$$\begin{aligned} \frac{\partial P(\phi, t)}{\partial t} &= \left( -\frac{\partial}{\partial \phi} \left( -M \frac{\partial F}{\partial \phi} \right) + \frac{\partial^2}{\partial \phi^2} \frac{\Gamma}{Z} \right) P(\phi, t) \\ &= -\frac{\partial}{\partial \phi} \left( \underbrace{-M \frac{\partial F}{\partial \phi} P(\phi, t) - \frac{\Gamma}{Z} \frac{\partial}{\partial \phi} P(\phi, t)} \right) \\ &= -\frac{\partial}{\partial \phi} J_{\phi} \\ &\quad \text{Strom!} \end{aligned}$$

Gleichgewicht:  $J_{\phi} = 0$ ,  $P(\phi, t) \rightarrow P^{\text{eq}}(\phi)$

$$\Rightarrow \frac{\Gamma}{Z} \frac{\partial}{\partial \phi} P^{\text{eq}}(\phi) = -M \frac{\partial F}{\partial \phi} P^{\text{eq}}(\phi)$$

Lösung kann sofort hingeschrieben werden (s. Diskussion Fokker-Planck in 1 Dimension)

$$\begin{aligned} P^{\text{eq}}(\phi) &= \exp \left( \text{const} + \frac{Z}{\Gamma} \int_{\phi_0}^{\phi} d\phi' \overbrace{\left( -M \frac{\partial F}{\partial \phi} \right)}^{K^{(1)}} \right) \\ &\sim e^{-\frac{2M}{\Gamma} F(\phi)} \end{aligned}$$

Wir hatten gefordert:  $P^{\text{gr}}(\phi) \sim e^{-\beta F(\phi)}$

$$\Rightarrow \beta = \frac{2M}{T}$$

$$\Leftrightarrow \Gamma = \frac{2M}{T}$$

Mobilitätskonstante

Stärke des  
Panzers

q.e.d.

### Modell B

Im Unterschied zu Modell A bleibt hier der Ordnungparameter erhalten!

$$\Rightarrow \frac{\partial \phi(\mathbf{r}, t)}{\partial t} = -\nabla \cdot \mathbf{j}(\mathbf{r}, t)$$

Grenzungs-Landau-Fern

$$\text{mit } \mathbf{j}(\mathbf{r}, t) = -M \nabla \frac{\delta F[\phi]}{\delta \phi} + \underline{\mathbf{j}}^*(\mathbf{r}, t)$$

$$\Rightarrow \frac{\partial \phi(\mathbf{r}, t)}{\partial t} = M \nabla^2 \frac{\delta F}{\delta \phi} + \underline{\mathbf{j}}(\mathbf{r}, t) \quad \text{mit } \underline{\mathbf{j}}(\mathbf{r}, t) = \nabla \cdot \mathbf{j}^*(\mathbf{r}, t)$$

Panzern

Für  $\underline{\mathbf{j}}(\mathbf{r}, t) = 0$  hat Modell B dieselbe Form wie die  
Ginzburg-Landau-Theorie!

$$(\phi(\mathbf{r}, t) \rightarrow \psi(\mathbf{r}, t))$$

### Anwendung von Modell A

- ursprünglich für Supraleiter, Supraleitfähigkeit
- Magnetisierbarkeit in einer Festkörper

↳ dieses Beispiel wollen wir hier diskutieren!

Ziel: Verständnis der Dynamik eines skalaren, nicht erhaltenen Ordnungparameters  
in der Nähe eines Phasenübergangs zweiter Ordnung

Hintergrund:

Viele magnet. Festkörper weisen im Gleichgewicht einen Phasenübergang von einer paramagnetischen Hochtemperaturphase in eine ferromagnetische Tieftemperaturphase auf!

Kann aber als- und zeitabhängig sein!

Betrachte hier System, wobei Magnetisierung eine skalare Größe ist.

(z.B. aufgrund von Kristallanisotropien  
 → Magnetisierung kann nur best. Richtungen annehmen  
 → skalare Beschreibung genügt!)

Kurze Wiederholung der Beschreibung eines solchen Systems im Gleichgewicht auf Ordnungsparameterlevel

Ginzburg-Landau-Funktional (implizit 'mean-field-artige' Beschreibung)

$$F[M] = \int dV \left( \frac{a}{2} (T - T_c) (M(\underline{r}, t))^2 + \frac{b}{4} (M(\underline{r}, t))^4 + \frac{c}{2} (\nabla M(\underline{r}, t))^2 - M(\underline{r}, t) H(\underline{r}, t) \right)$$

vernachlässige Zeitabhängigkeiten (Gleichgewicht!) externes Feld

Idee: Das statistisch genützte eine Variable  $M(\underline{r})$  ist gegeben durch  $e^{-\beta F[M]}$

⇒ die wahrscheinlichste Konfiguration ergibt sich aus  $\frac{\delta F[M]}{\delta M(\underline{r})} \stackrel{!}{=} 0$

$$\Rightarrow \boxed{a(T - T_c) M(\underline{r}) + b(M(\underline{r}))^3 - c \Delta M(\underline{r}) - H(\underline{r}) \stackrel{!}{=} 0} \quad \text{Ⓢ}$$

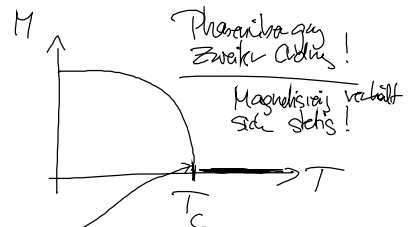
betrachte Fall  $H(\underline{r}) = 0$ , homogenes Ordnungsparameter  $M(\underline{r}) = M$

$$a(T - T_c) M + b M^3 = 0$$

$$T < T_c \Rightarrow M \neq 0 \quad a(T - T_c) + b M^2 = 0$$

Magnetisierung  
 dicht unterhalb  
 von  $T_c$

$$M \sim (T_c - T)^{\frac{1}{2}}$$



Suszeptibilität  $\chi = \left. \frac{\partial M}{\partial H} \right|_{H=0}$

Stabilität:  $a(T-T_c)M + bM^3 - H = 0$

(homogene Ordnungparameter,  
homogener Feld)

Ableite nach  $H$ :

$$a(T-T_c) \frac{\partial M}{\partial H} + b3M^2 \frac{\partial M}{\partial H} - 1 = 0$$

$$\Rightarrow \frac{\partial M}{\partial H} (a(T-T_c) + 3bM^2) = 1$$

betrachte  $T > T_c$ :  $M=0 \Rightarrow \frac{\partial M}{\partial H} = \frac{1}{a(T-T_c)} \sim (T-T_c)^{-1}$

Curie-Verhalten

Man nennt die Exponenten  $\frac{1}{2}$  ( $M \sim (T-T_c)^{\frac{1}{2}}$ ) und  $1$  ( $\chi \sim (T-T_c)^{-1}$ )  
kritische Exponenten. Wie ergeben sich die Meanfield-Werte!

(i.A.: Exponenten haben andere Werte, Universalität)

Frage nun

Dynamik des Ordnungsparameters  $M(r,t)$  dicht am kritischen Punkt?

Idee:

~~Am~~ In der Nähe von  $T_c$  divergiert die Suszeptibilität, und die  
räumliche Korrelation des Ordnungsparameters werden langreichweitig (hier nicht gezeigt)

$$\langle M(r) M(r') \rangle$$

d.h. die Korrelationslänge divergiert!

Was impliziert das für das zeitliche Verhalten?

Ansatz für die Zeitabhängigkeit (Modell A)

$$\frac{\partial M(\underline{r}, t)}{\partial t} = -\lambda \frac{\delta F[M]}{\delta M(\underline{r}, t)} + \eta(\underline{r}, t) \quad (*)$$

Relaxation ins  
Minimum von  $F[\phi]$ ,  
 $\lambda > 0$

Stochastischer Term

(z.B. von schnellen Sitterbewegungen  
→ nicht verändernde  
statistische Prop.)

$$FDI: \langle \eta(\underline{r}, t) \eta(\underline{r}', t') \rangle = 2 \lambda k_B T \delta(\underline{r} - \underline{r}') \delta(t - t')$$

Ansatz von (\*) durch <sup>Funktional</sup> Ableitung von  $F[M]$

$$\frac{\partial M(\underline{r}, t)}{\partial t} = -\lambda \left( a(T - T_c) M(\underline{r}, t) + b \cancel{(M(\underline{r}, t))^3} - c \Delta M(\underline{r}, t) + M(\underline{r}, t) \cancel{M(\underline{r}, t)} \right) + \eta(\underline{r}, t)$$

betrachte  $H=0$  (kein äußeres Feld)

Vernachlässige anharmonische Term  $\sim M^3$

⇒ effektiv: Linearisierung!

Einfacher zu behandeln im Fourierraum

$$\tilde{M}(\underline{k}, t) = \int d\underline{r} e^{-i\underline{k} \cdot \underline{r}} M(\underline{r}, t)$$

$$\Delta M(\underline{u}, t) \rightarrow -\frac{(\underline{u})^2}{\kappa^2} \tilde{M}(\underline{u}, t)$$

$$\tilde{\eta}(\underline{u}, t) = \int d\underline{u}' e^{-i\underline{u}' \cdot \underline{u}} \eta(\underline{u}', t)$$

$$\Rightarrow \left[ \frac{\partial}{\partial t} \tilde{M}(\underline{u}, t) = -\lambda (a(T-T_c) + c\underline{u}^2) \tilde{M}(\underline{u}, t) + \tilde{\eta}(\underline{u}, t) \right]$$

Rauslösen

Entkopplung bzgl.  $\underline{u}$  !

$\forall \underline{u}$

Diese Gleichung hat (für jedes  $\underline{u}$ ) genau dieselbe Struktur wie eine (verallgemeinert) Langevin-Gleichung in einer Dimension !

$$\left( \dot{v} = -\gamma v + f(t) \right)$$

Gleichung eines Vollrads

$\Rightarrow$  Wir können sofort schreiben:

$$M(\underline{u}, t) = \tilde{M}(\underline{u}, 0) e^{-\gamma_{\underline{u}} t} + e^{-\gamma_{\underline{u}} t} \int_0^t dt' e^{\gamma_{\underline{u}} t'} \tilde{\eta}(\underline{u}, t')$$

für jede Realisierung des Rauschens!

mit  $\gamma_{\underline{u}} = \lambda (a(T-T_c) + c\underline{u}^2)$

Wir wollen nun Mittelwerte und Schwankungen von  $\tilde{M}(\underline{u}, t)$  ausrechnen!

$$\langle \tilde{M}(\underline{u}, t) \rangle = \tilde{M}(\underline{u}, 0) e^{-\gamma_{\underline{u}} t} \quad (\text{wegen } \langle \tilde{\eta}(\underline{u}, t) \rangle = 0)$$

Exponentielles Abklingen der Anfangsmagnetisierung

Korrelationsfunktion (Schwankung)

$$\langle \tilde{M}(k, t) \tilde{M}(k, t') \rangle = \frac{\lambda k_B T}{\gamma_k} e^{-\gamma_k (t-t')} + e^{-\gamma_k (t+t')} \left( \langle (\tilde{M}(k, 0))^2 \rangle - \frac{\lambda k_B T}{\gamma_k} \right)$$

s. Langevin-Theorie

z.B. über Fluctuation-Dissipation-Theorem

beachte: in Gleichg. wird gilt:

$$\langle (\tilde{M}(k, 0))^2 \rangle = \frac{\lambda k_B T}{\gamma_k} = \frac{1}{a(T-T_c) + ck^2}$$

beachte Def. von  $\gamma_k$

$$\begin{aligned} \Rightarrow \langle \tilde{M}(k, t) \tilde{M}(k, t') \rangle &= \frac{k_B T \lambda}{\gamma_k} e^{-\gamma_k (t-t')} \\ &= \frac{k_B T}{a(T-T_c) + ck^2} e^{-\gamma_k |t-t'|} \end{aligned}$$

Folgerung:

Die zeitlichen Korrelation der Magnetisierung in der Nähe des kritischen Punktes  
(da wir Linearität haben!)  
zerfallen exponentiell mit der Relaxationszeit

$$\gamma_k = \lambda (a(T-T_c) + ck^2)$$

Man sieht:

Bei festem  $k=|k|$  wird  $\gamma_k$  für  $T \rightarrow T_c$  drastisch kleiner

(insbesondere: für  $k \rightarrow 0$  und  $T \rightarrow T_c$  geht  $\gamma_k \rightarrow 0$ )

$\Rightarrow$  die zeitl. Korrelation klingen immer langsamer ab!

„critical slowing down“ !

hoffen durch  
dynamischen  
Skalierung

Typisches Phänomen in der Nähe eines Phasenübergangs  
Zurück Adung